PCT

WELTORGANISATION FÜR GEISTIGES EIGENTUM Internationales Buro

INTERNATIONALE ANMELDUNG VERÖFFENTLICHT NACH DEM VERTRAG ÜBER DIE INTERNATIONALE ZUSAMMENARBEIT AUF DEM GEBIET DES PATENTWESENS (PCT)

(51) Internationale Patentklassifikadon 6:

G11C 11/15

A1

(11) Internationale Veröffentlichungsnummer: WO 99/18578

(43) Internationales
Veröffentlichungsdatum: 15. April 1999 (15.04.99)

(21) Internationales Aktenzeichen:

PCT/DE98/02876

(22) Internationales Anmeldedatum:

28. September 1998 (28.09.98)

197 44 095.9

6. Oktober 1997 (06.10.97) DE

(71) Anmelder (für alle Bestimmungsstaaten ausser US): SIEMENS AKTIENGESELLSCHAFT [DE/DB]; Wittelsbacherplatz 2, D-80333 Munchen (DE).

(72) Erfinder; und

(30) Prioritätsdaten:

- (75) Erfinder/Anmelder (nur für US): SCHWARZL, Siegfried [DE/DE]; Josef-Kyreln-Strasse 11B, D-85579 Neubiberg (DE). RISCH, Lothar [DE/DE]; Tizianstrasse 27, D-85579 Neubiberg (DE).
- (74) Gemeinsamer Vertreter: SIEMENS AG; Postfach 22 16 34, D-80506 München (DE).

(81) Bestimmungsstaaten: CN, JP, KR, US, curopäisches Patent (AT, BE, CH, CY, DE, DK, ES, FI, FR, GB, GR, IE, IT, LU, MC, NL, PT, SE).

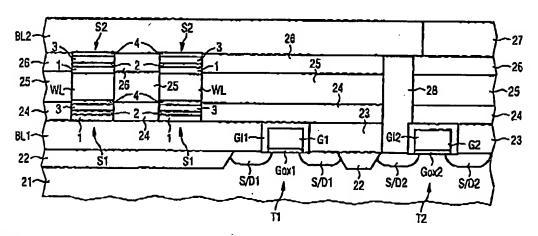
Veröffentlicht

Mit internationalem Recherchenberlcht.

Vor Ablauf der für Änderungen der Ansprüche zugelassenen Frist; Veröffentlichung wird wiederholt falls Änderungen eintreffen.

(54) Title: MEMORY CELL ARRANGEMENT

(54) Bezeichnung: SPEICHERZELLENANORDN(ING



(57) Abstract

The inventive memory cell arrangement has word lines (WL) and bit lines (BLI, BL2), said bit lines running crosswise to the word lines. Memory elements (S1, S2) with magnetoresistive effect are each connected between one of the word lines and one of the bit lines. Said memory elements (S1, S2) are arranged one above the other in at least two layers.

(57) Zusammenfassung

Eine Speicherzellenanordnung weist Wordeitungen (WL) und quer dazu verlaufende Bidelnungen (BL1, BL2) auf. Jeweils zwischen eine der Wordeltungen und eine der Bideltungen sind Speicherelemente (S1, S2) mit magnetoresistivem Effekt geschaltet. Die Speicherelemente (S1, S2) sind in mindestens zwel Lagen übereinsnder angeordnet.

PCT WELTORGANISATION FÜR GEISTIGES EIGENTUM
Internationales Büro
INTERNATIONALE ANMELDUNG VERÖFFENTLICHT NACH DEM VERTRAG ÜBER DIE INTERNATIONALE ZUSAMMENARBEIT AUF DEM GEBIET DES PATENTWESENS (PCT)

(51) Internationale Patentklassifikation 6:

G11C 11/15

- (11) Internationale Veröffentlichungsnummer:
- WO 99/18578

A1

(43) Internationales Veröffentlichungsdatum:

15. April 1999 (15.04.99)

(21) Internationales Aktenzeichen:

PCT/DE98/02876

(22) Internationales Anmeldedatum:

28. September 1998

(28.09.98)

(30) Prioritätsdaten:

197 44 095.9

6. Oktober 1997 (06.10.97) DE

- (71) Anmelder (für alle Bestimmungsstaaten ausser US): SIEMENS AKTIENGESELLSCHAFT [DE/DE]; Wittelsbacherplatz 2, D-80333 München (DE).
- (72) Erfinder; und
- (75) Erfinder/Anmelder (nur für US): SCHWARZL, Siegfried [DE/DE]; Josef-Kyrein-Strasse 11B, D-85579 Neubiberg (DE). RISCH, Lothar [DE/DE]; Tizianstrasse 27, D-85579 Neubiberg (DE).
- (74) Gemeinsamer Vertreter: SIEMENS AG; Postfach 22 16 34, D-80506 München (DE).

(81) Bestimmungsstaaten: CN, JP, KR, US, europäisches Patent (AT, BE, CH, CY, DE, DK, ES, FI, FR, GB, GR, IE, IT, LU, MC, NL, PT, SE).

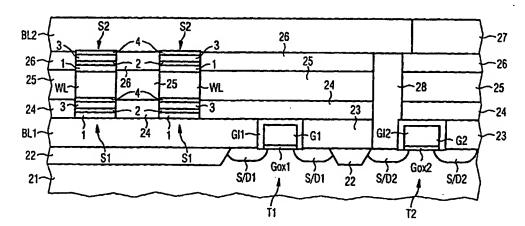
Veröffentlicht

Mit internationalem Recherchenbericht.

Vor Ablauf der für Änderungen der Ansprüche zugelassenen Frist; Veröffentlichung wird wiederholt falls Änderungen eintreffen.

(54) Title: MEMORY CELL ARRANGEMENT

(54) Bezeichnung: SPEICHERZELLENANORDNUNG



(57) Abstract

The inventive memory cell arrangement has word lines (WL) and bit lines (BL1, BL2), said bit lines running crosswise to the word lines. Memory elements (S1, S2) with magnetoresistive effect are each connected between one of the word lines and one of the bit lines. Said memory elements (S1, S2) are arranged one above the other in at least two layers.

(57) Zusammenfassung

Eine Speicherzellenanordnung weist Wortleitungen (WL) und quer dazu verlaufende Bitleitungen (BL1, BL2) auf. Jeweils zwischen eine der Wortleitungen und eine der Bitleitungen sind Speicherelemente (S1, S2) mit magnetoresistivem Effekt geschaltet. Die Speicherelemente (S1, S2) sind in mindestens zwei Lagen übereinander angeordnet.

LEDIGLICH ZUR INFORMATION

Codes zur Identifizierung von PCT-Vertragsstaaten auf den Kopfbögen der Schriften, die internationale Anmeldungen gemäss dem PCT veröffentlichen.

AL	Albanien	ES	Spanien	LS	Lesotho	SI	Slowenien
AM	Armenien	FI	Finnland	LT	Litauen	SK	Slowakei
AT	Österreich	FR	Frankreich	LU	Luxemburg	SN	Schegal
AU	Australien	GA	Gabun	LV	Lettland	SZ	Swasiland
AZ	Aserbaidschan	GB	Vereinigtes Königreich	MC	Monaco	TD	Tschad
BA	Bosnien-Herzegowina	GE	Georgien	MD	Republik Moldau	TG	Togo
BB	Barbados	GH	Ghana	MG	Madagaskar	TJ	Tadschikistan
BE	Belgien	GN	Guinea	MK	Die ehemalige jugoslawische	TM	Turkmenistan
BF	Burkina Faso	GR	Griechenland		Republik Mazedonien	TR	Türkei
BG	Bulgarien	HU '	Ungarn	ML	Mali	TT	Trinidad und Tobago
BJ	Benin	IE	Irland	MN	Mongolei	UÁ	Ukraine
BR	Brasilien	IL	Israel	MR	Mauretanien	UG	Uganda
BY	Belarus	IS	Island	MW	Malawi	US	Vereinigte Staaten von
CA	Kanada	ľT	Italien	MX	Mexiko		Amerika
CF	Zentralafrikanische Republik	JP	Japan	NE	Niger	UZ	Usbekistan
CG	Kongo	KE	Kenia	NL	Niederlande	VN	Vietnam
CH	Schweiz	KG	Kirgisistan	NO	Norwegen	YU	Jugoslawien
CI	Côte d'Ivoire	KP	Demokratische Volksrepublik	NZ	Neuseeland	ZW	Zimbabwe
CM	Kamerun		Котеа	PL	Polen		
CN	China	KR	Republik Korea	PT	Portugal		
CU	Kuba	KZ	Kasachstan	RO	Rumānien		
CZ	Tschechische Republik	LC	St. Lucia	RU	Russische Föderation		
DE	Deutschland	LI	Liechtenstein	SD	Sudan		
DK	Dänemark	LK	Sri Lanka	SE	Schweden		
EE	Estland	LR	Liberia	SG	Singapur		
					-		

1

Beschreibung

Speicherzellenanordnung.

Die Erfindung betrifft eine Speicherzellenanordnung mit Speicherelementen mit einer Schichtstruktur mit sehr großem magnetoresistivem Effekt.

Aus der Technologieanalyse XMR-Technologien, Technologiefrüherkennung, Verfasser Stefan Mengel, Herausgeber VDI-Technologiezentrum Physikalische Technologien, sind Schichtstrukturen mit magnetoresisitvem Effekt bekannt. Je nach Aufbau der Schichtstruktur wird unterschieden zwischen GMR-Element, TMR-Element AMR-Element und CMR-Element.

15

20

25

30

35

10

Der Begriff GMR-Element wird in der Fachwelt für Schichtstrukturen verwendet, die mindestens zwei ferromagnetische Schichten und eine dazwischen angeordnete nichtmagnetische, leitende Schicht aufweisen und den sogenannten GMR-(giant magnetoresistance) Effekt, das heißt einen im Vergleich zum AMR-(antisotropic magnetoresistance) Effekt großen magnetoresistiven Effekt zeigen. Unter dem GMR-Effekt wird die Tatsache verstanden, daß der elektrische Widerstand des GMR-Elements abhängig davon ist, ob die Magnetisierungen in den beiden ferromagnetischen Schichten parallel oder antiparallel ausgerichtet sind.

Der Begriff TMR-Element wird in der Fachwelt für "Tunneling Magnetoresistance"-Schichtstrukturen verwendet, die mindestens zwei ferromagnetische Schichten und eine dazwischen angeordnete isolierende, nichtmagnetische Schicht aufweisen. Die isolierende Schicht ist dabei so dünn, daß es zu einem Tunnelstrom zwischen den beiden ferromagnetischen Schichten kommt. Diese Schichtstrukturen zeigen ebenfalls einen magnetoresistiven Effekt, der durch einen spinpolarisierten Tunnelstrom durch die zwischen den beiden ferromagnetischen Schichten angeordnete isolierende, nicht magnetische Schicht

2

bewirkt wird. Auch in diesem Fall ist der elektrische Widerstand des TMR-Elementes abhängig davon, ob die Magnetisierungen in den beiden ferromagnetischen Schichten parallel oder antiparallel ausgerichtet sind.

5

Der AMR-Effekt äußert sich dadurch, daß der Widerstand in magnetisierten Leitern parallel und senkrecht zur Magnetisierungsrichtung verschieden ist. Er ist ein Volumeneffekt und tritt somit in ferromagnetischen Einfachschichten auf.

10

15

20

25

30

35

Ein weiterer Magnetowiderstandseffekt, der wegen seiner Größe $(\Delta R/R=100\ Prozent\ \dots\ 400\ Prozent\ bei\ Raumtemperatur)$ Colossal Magnetoresistance Effekt genannt wird, erfordert wegen seiner hohen Koerzitivkräfte ein hohes Magnetfeld zum Umschalten zwischen den Magnetisierungszuständen.

Es ist vorgeschlagen worden (siehe zum Beispiel D. D. Tang et al, IEDM 95, Seiten 997 bis 999, D. D. Tang et al, IEEE Trans. on Magnetics, Vol. 31, Nr. 6, 1995, Seiten 3206 bis 3208, F. W. Patten et al, Int. Non Volatile Memory Technology Conf., 1996, Seiten 1 bis 2), GMR-Elemente als Speicherelemente in einer Speicherzellenanordnung zu verwenden. Dazu werden als Speicherelemente GMR-Elemente verwendet, bei denen die Magnetisierungsrichtung der einen ferromagnetischen Schicht zum Beispiel durch eine benachbarte antiferromagnetische Schicht festgehalten wird. Die Speicherelemente werden über Leseleitungen in Reihe verschaltet. Quer dazu verlaufen Wortleitungen, die sowohl gegenüber den Leseleitungen als auch gegenüber den Speicherelementen isoliert sind. An die Wortleitungen angelegte Signale verursachen durch den in der Wortleitung fließenden Strom ein Magnetfeld, das bei hinreichender Stärke die darunter befindlichen Speicherelemente beeinflußt. Zum Einschreiben von Information werden eine Bitleitung und eine Wortleitung, die als X/Y-Leitungen bezeichnet werden und die sich oberhalb der zu beschreibenden Speicherzelle kreuzen, mit Signalen beaufschlagt, die am Kreuzungspunkt ein für die Ummagnetisierung ausreichendes magne-

3

tisches Feld verursachen. Zum Auslesen der Information wird die Wortleitung mit einem Signal beaufschlagt, durch das die betreffende Speicherzelle zwischen den beiden Magnetisierungszuständen hin und her geschaltet wird. Gemessen wird der Strom durch die Leseleitung, aus dem der Widerstandswert des entsprechenden Speicherelementes ermittelt wird.

In S. Tehrani et al, IEDM 96, Seite 193 ff., ist vorgeschlagen worden, als Speicherelement ein GMR-Element zu verwenden, das unterschiedlich dicke ferromagnetische Schichten aufweist. Das Magnetfeld zum Einschreiben von Information wird so bemessen, daß es nur die Magnetisierung in der dünneren der beiden ferromagnetischen Schichten beeinflußt. Die Magnetisierung in der dickeren der beiden ferromagnetischen Schichten bleibt davon unbeeinflußt.

Der Erfindung liegt das Problem zugrunde, eine Speicherzellenanordnung mit Speicherelementen mit magnetoresistiven Effekt anzugeben, die mit erhöhter Packungsdichte herstellbar ist.

Dieses Problem wird durch eine Speicherzellenanordnung gemäß Anspruch 1 gelöst. Weitere Ausgestaltungen der Erfindung gehen aus den übrigen Ansprüchen hervor.

25

30

10

15

20

Die Speicherzellenanordnung weist untereinander im wesentlichen parallel verlaufende Wortleitungen und untereinander im wesentlichen parallel verlaufende Bitleitungen auf, wobei die Wortleitungen quer zu den Bitleitungen verlaufen. Es sind Speicherelemente mit einer Schichtstruktur mit magnetoresistiven Effekt vorgesehen, die jeweils zwischen einer der Wortleitungen und einer der Bitleitungen angeordnet sind.

Für die Wort- und Bitleitungen wird im Zusammenhang mit magnetischen Speichern in der Literatur auch häufig der Begriff X- oder Y-Leitung verwendet.

4

Die Speicherelemente sind in mindestens zwei Lagen angeordnet. Diese Lagen sind übereinander gestapelt. Dadurch sinkt der Flächenbedarf pro Speicherelement und die Packungsdichte wird erhöht. Je größer die Anzahl der Lagen, die übereinander gestapelt sind, desto höher ist die erzielbare Packungsdichte. Jede Lage Speicherelemente ist dabei zwischen zwei Leitungsebenen angeordnet, wobei die eine Leitungsebene Bitleitungen und die andere Leitungsebene Wortleitungen enthält. Die Bitleitungen und die Wortleitungen kreuzen sich. Zwischen benachbarten Lagen ist jeweils eine Leitungsebene, die Bitleitungen oder Wortleitungen enthält, vorgesehen.

10

15

35

Die sich kreuzenden Wortleitungen und Bitleitungen sind jeweils mit minimalen Abmessungen und Abständen von einer minimalen Strukturgröße F herstellbar, so daß sich pro Lage ein Flächenbedarf pro Speicherelement von $4F^2$ ergibt. Insgesamt ergibt sich in der Speicherzellenanordnung bei n Lagen ein Flächenbedarf von $4F^2/n$ pro Speicherelement.

- Vorzugsweise ist die Speicherzellenanordnung in Dünnschichttechnik auf einem Halbleitersubstrat realisiert. In dem Halbleitersubstrat sind Bauelemente zur Ansteuerung der Speicherzellenanordnung enthalten.
- 25 Als Speicherelement sind alle bekannten TMR-Elemente und GMRElemente in CPP-Anordnung (current perpendicular to plane)
 geeignet. Der GMR-Effekt ist größer, wenn der Strom senkrecht
 durch den Schichtstapel fließt (CPP), als wenn der Strom parallel in den Schichten (CIP current in plane) fließt. Darüberhinaus sind alle XMR-Elemente geeignet, die zwei Magnetisierungszustände mit unterschiedlichem Widerstand aufweisen,
 zwischen denen durch Anlegen eines Magnetfeldes, dessen Höhe
 für die Speicheranwendung verträglich ist, hin und her ge-

schaltet werden kann.

Vorzugsweise weisen die Speicherelemente jeweils zwei ferromagnetische Schichten und eine dazwischen angeordnete nicht-

5

magnetische, isolierende (TMR) bzw. leitende (GMR) Schicht auf. Die Speicherelemente weisen jeweils zwei Magnetisierungszustände auf. Es ist vorteilhaft, eine isolierende, nichtmagnetische Schicht zu verwenden (TMR-Element), weil dadurch höhere Elementwiderstände (> 100 k Ω) erzielbar sind, die hinsichtlich Leistungsverbrauch und Signal/Rausch-Verhältnis günstiger sind.

Eine der ferromagnetischen Schichten ist vorzugsweise einer antiferromagnetischen Schicht benachbart angeordnet, die die Magnetisierungsrichtung in der benachbarten ferromagnetischen Schicht fixiert. Für die antiferromagnetische Schicht sind unter anderem Materialien geeignet, die mindestens eines der Elemente Fe, Mn, Ni, Ir, Tb und O enthalten.

15

20

25

35

10

Alternativ können die Speicherelemente jeweils zwei ferromagnetische Schichten und eine dazwischen angeordnete nicht magnetische Schicht aufweisen, wobei eine der ferromagnetischen Schichten dicker als die andere ferromagnetische Schicht ist oder die ferromagnetischen Schichten aus verschiedenen Materialien mit unterschiedlichen magnetischen Eigenschaften gebildet sind, oder eine nicht magnetische nicht isolierende Schicht aufweisen. Dadurch wird erreicht, daß nur eine ferromagnetische Schicht ummagnetisiert wird, während die andere unbeeinflußt bleibt.

Für die ferromagnetischen Schichten sind unter anderem Materialien geeignet, die mindestens eines der Elemente Fe, Ni, Co, Cr, Mn, Gd, Dy enthalten. Die Dicke der ferromagnetischen Schichten beträgt maximal 20 nm und liegt vorzugsweise im Bereich zwischen 2 und 10 nm. Für die nicht magnetische Schicht, die als Tunnelisolator wirkt, ist als isolierendes Material Al₂O₃, NiO, HfO₂. TiO₂, NbO oder SiO₂ geeignet. Als nicht isolierendes Material für die nicht magnetische Schicht ist Cu oder Ag geeignet. Die Dicke der nicht magnetischen Schicht liegt im Bereich zwischen 1 und 4 nm, vorzugsweise zwischen 2 und 3 nm.

PCT/DE98/02876 WO 99/18578

6

Die Speicherelemente weisen vorzugsweise Abmessungen im Bereich zwischen 0,05 μ m und 20 μ m auf. Sie können unter anderem quadratisch oder langgestreckt ausgestaltet sein.

5

10

15

20

25

35

Zum Einschreiben von Information in eines der Speicherelemente werden die zugehörige Wortleitung und die zugehörige Bitleitung jeweils mit einem Signal beaufschlagt. Dadurch fließt ein Strom über die Wortleitung und die Bitleitung, der jeweils ein Magnetfeld induziert. Am Kreuzungspunkt der Wortleitung und der Bitleitung ist das Gesamtmagnetfeld, das sich durch Überlagerung der beiden Magnetfelder ergibt, so groß, daß es zu einer Ummagnetisierung des dort befindlichen Speicherelementes kommt. Außerhalb des Kreuzungspunktes sind die einzelnen Magnetfelder für eine Ummagnetisierung der dort befindlichen Speicherelemente zu gering.

Das Auslesen der Information kann auf verschiedene Weise erfolgen. Zum Auslesen der Information kann die Wortleitung mit einem Signal beaufschlagt werden, durch das das betreffende Speicherelement von einem ersten Magnetisierungszustand in einen zweiten Magnetisierungszustand schaltbar ist. Es wird der Strom gemessen durch die Bitleitung, die mit dem Speicherelement verbunden ist. Wird der Magnetisierungszustand bei diesem Vorgang umgeschaltet, so ändert sich der Strom. Aus dem Auftreten bzw. Nichtauftreten einer Stromänderung wird auf die gespeicherte Information geschlossen. Wird der Magnetisierungszustand bei dem Auslesevorgang verändert, so muß die ursprüngliche Information anschließend zurückge-30 schrieben werden.

Vorzugsweise sind die Bitleitungen jeweils mit einem Leseverstärker verbunden, über den das Potential an der jeweiligen Bitleitung auf ein Referenzpotential regelbar ist und an dem ein Ausgangssignal abgreifbar ist. Die Speicherelemente sind jeweils zwischen die zugehörige Wortleitung und Bitleitung geschaltet. Zum Auslesen dieser Speicherzellenanordnung wer-

7

den alle nicht ausgewählten Wortleitungen auf das Referenzpotential gelegt. An die ausgewählte Wortleitung wird ein Signal mit anderem Potential angelegt. Dadurch wird ein Strompfad von der ausgewählten Wortleitung zu allen Bitleitungen geschlossen. Aus dem Ausgangssignal am jeweiligen Leseverstärker, den elektrischen Kenngrößen des Leseverstärkers wie zum Beispiel dem Rückkoppelwiderstand, und dem Referenzpotential und dem Bitleitungswiderstand läßt sich der Widerstand des am Kreuzungspunkt der Wortleitung mit der jeweiligen Bitleitung befindlichen Speicherelementes bestimmen. Beim Auslesen dieser Speicherzellenanordnung tritt daher keine Veränderung der gespeicherten Information auf.

10

15

20

35

Vorzugsweise weist der Leseverstärker einen rückgekoppelten Operationsverstärker auf. Der nicht invertierende Eingang des Operationsverstärkers wird mit Referenzpotential, zum Beispiel mit Erde, verbunden. Die Bitleitung wird mit dem invertierenden Eingang verbunden. Beträgt das Referenzpotential Ovolt, so stellt dieser Operationsverstärker sicher, daß an der Bitleitung O Volt anliegen. Das Ausgangssignal des Operationsverstärkers ist ein Maß für den Widerstand des ausgewählten Speicherelementes.

Im folgenden wird die Erfindung anhand eines Ausführungsbei-25 spiels, das in den Figuren dargestellt ist, näher erläutert.

- Figur 1 zeigt ein Speicherelement mit zugehöriger Bitleitung und Wortleitung.
- 30 Figur 2 zeigt einen Schnitt durch eine Speicherzellenanordnung, die mehrere Lagen mit Speicherelementen aufweist.
 - Figur 3 zeigt die Architektur der Speicherzellenanordnung.

Ein Speicherelement S weist eine erste ferromagnetische Schicht 1, eine nicht magnetische Schicht 2, eine zweite fer-

8

romagnetische Schicht 3 und eine antiferromagnetische Schicht 4 auf (siehe Figur 1). Die erste ferromagnetische Schicht 1, die nicht magnetische Schicht 2 und die zweite ferromagnetische Schicht 3 stellen eine Schichtstruktur dar. Die erste ferromagnetische Schicht 1 und die zweite ferromagnetische Schicht 3 enthalten NiFe und weisen eine Dicke von 10 nm auf. Die nicht magnetische Schicht 2 enthält Al₂O₃ und weist eine Dicke von 2 bis 3 nm auf. Die antiferromagnetische Schicht 4 enthält FeMn und weist eine Dicke von 10 bis 20 nm auf. Die erste ferromagnetische Schicht 1 grenzt an eine Wortleitung WL an. Die antiferromagnetische Schicht 4 grenzt an die Bitleitung BL an. Die Bitleitung BL verläuft unterhalb der Wortleitung WL. Alternativ kann die Bitleitung BL auch oberhalb der Wortleitung WL verlaufen. In der durch die Bitleitungen BL und die Wortleitung WL aufgespannten Ebene weist das Speicherelement S einen Querschnitt von zum Beispiel 0,25 μm x $0,25 \mu \text{m}$ auf.

Die Bitleitungen BL und die Wortleitungen WL werden jeweils 20 aus Al mit 0,5 Gew % Cu in einer Dicke gebildet, die so dimensioniert ist, daß die Stromdichte in den Bitleitungen BL bzw. Wortleitungen WL 10⁶ A/cm² nicht überschreitet.

Zum Einschreiben von Information in das Speicherelement wird der Wortleitung WL ein Strom I_{WL} und der Bitleitung BL ein Strom I_{BL} eingeprägt. Diese Ströme induzieren um die Wortleitung WL ein Magnetfeld H_{WL} und um die Bitleitung H_{L} ein Magnetfeld H_{BL} . Am Kreuzungspunkt von Bitleitung und Wortleitung ist das resultierende Magnetfeld so groß, daß es die Magnetisierung der ersten ferromagnetischen Schicht 1 beeinflußt. Die Magnetisierung der zweiten ferromagnetischen Schicht 3 ist durch die antiferromagnetische Schicht 4, die dieser benachbart ist, festgelegt.

30

35 Ein Halbleitersubstrat 21, zum Beispiel eine monokristalline Siliziumscheibe oder eine monokristalline Siliziumschicht, die an der Oberfläche einer auf einem Trägerkörper angeordne-

9

ten isolierenden Schicht eines SOI-Substrats angeordnet ist, weist im Bereich einer Oberfläche eine Isolationsstruktur 22 auf (siehe Figur 2). Die Isolationsstruktur 22 enthält SiO₂ und wird zum Beispiel durch lokale Oxidation in einem LOCOS-Prozeß oder durch Bildung flacher Gräben, die mit isolierendem Material aufgefüllt werden, in einem Shallow-Trench-Isolation (STI)-Prozeß gebildet.

Die Isolationsstruktur 22 bedeckt das Substrat 21 im Bereich 10 eines Zellenfeldes und definiert aktive Gebiete im Bereich einer Peripherie.

15

20

25

30

35

Im Bereich des Zellenfeldes sind an der Oberfläche der Isolationsstruktur 22 streifenförmige, untereinander parallel verlaufende erste Bitleitungen BL1 angeordnet. Die Bitleitungen BL1 weisen eine Dicke von 0,6 μm , eine Länge von 50 μm , eine Breite von 0,25 μm und einen Abstand zwischen benachbarten ersten Bitleitungen BL1 von 0,25 μm auf. Die Bitleitungen BL1 werden zum Beispiel aus AlCu oder Siliziden gebildet. Benachbarte erste Bitleitungen BL1 sind durch eine planarisierende isolierende Schicht 23 aus SiO2 oder Si3N4 gegeneinander isoliert.

Auf der Oberfläche der ersten Bitleitungen BL1 sind rasterförmig in einer ersten Lage Speicherelemente S1 angeordnet. Die Speicherelemente S1 sind so aufgebaut wie das Speicherelement S, das anhand von Figur 1 erläutert wurde. Sie weisen jeweils eine erste ferromagnetische Schicht 1, eine nicht magnetische Schicht 2, eine zweite ferromagnetische Schicht 3 und eine antiferromagnetische Schicht 4 auf. Die erste ferromagnetische Schicht 1 und die zweite ferromagnetische Schicht 3 enthalten NiFe und weisen eine Dicke von 10 nm auf. Die nicht magnetische Schicht 2 enthält ${\rm Al}_2{\rm O}_3$ und weist eine Dikke von 2 bis 3 nm auf. Die antiferromagnetische Schicht 4 enthält FeMn und weist eine Dicke von 10 bis 20 nm auf. Parallel zur Oberfläche des Substrats 21 weisen die Speicherelemente S1 jeweils einen Querschnitt von 0,25 $\mu{\rm m}$ x 0,25 $\mu{\rm m}$ auf.

10

Die Speicherelemente S1 sind gegeneinander durch eine planarisierende isolierende Schicht 24 aus ${\rm SiO}_2$ oder ${\rm Si}_3{\rm N}_4$ isoliert.

Oberhalb der ersten Lage Speicherelemente S1 sind streifenförmige, untereinander parallel verlaufende Wortleitungen angeordnet, die senkrecht zu den ersten Bitleitungen BL1 verlaufen. Die Speicherelemente S1 der ersten Lage sind jeweils
am Kreuzungspunkt zwischen einer der Wortleitungen WL und einer der ersten Bitleitungen BL1 angeordnet. Die Wortleitungen
WL weisen eine Dicke von zum Beispiel 0,6 μm auf. Sie enthalten AlCu und Ti/TiN. Die Breite der Wortleitungen WL beträgt
0,25 μm, der Abstand zwischen benachbarten Wortleitungen WL
beträgt 0,25 μm. Die Länge der Wortleitungen WL beträgt 5000

μm. Zwischen benachbarten Wortleitungen WL ist eine planarisierende Isolationsschicht 25 aus SiO₂ angeordnet.

Oberhalb der Wortleitungen WL ist eine zweite Lage Speicherelemente S2 angeordnet. Die Speicherelemente S2 sind wie die
Speicherelemente S1 der ersten Lage rasterförmig angeordnet.
Sie sind jeweils mit einer der Wortleitungen WL in Kontakt.
Die Speicherelemente S2 sind wie die Speicherelemente S1 aufgebaut und weisen eine erste ferromagnetische Schicht 1, eine nicht magnetische Schicht 2, eine zweite ferromagnetische
Schicht 3 und eine antiferromagnetische Schicht 4 auf. Für die Dicken und die Materialien der Speicherelemente S2 gilt das in Zusammenhang mit den Speicherelementen S1 Gesagte.

20

25

30

Benachbarte Speicherelemente S2 der zweiten Lage sind durch eine planarisierende isolierende Schicht 26 gegeneinander isoliert. Sie wird zum Beispiel durch Abscheiden und chemisch mechanisches Polieren aus SiO_2 oder Si_3N_4 gebildet.

Oberhalb der zweiten Lage Speicherelemente S2 sind zweite
35 Bitleitungen BL2 angeordnet. Sie sind streifenförmig und verlaufen untereinander parallel. Darüber hinaus verlaufen sie
parallel zu den ersten Bitleitungen BL1. Die zweiten Bitlei-

11

tungen BL2 enthalten AlCu und Ti/TiN und weisen eine Dicke von 0,6 μ m und eine Länge von 50 μ m auf. Sie weisen eine Breite von 0,25 μ m und einen Abstand zwischen benachbarten zweiten Bitleitungen BL2 von 0,25 μ m auf. Benachbarte zweite Bitleitungen BL2 sind durch eine planarisierende isolierende Schicht 27, zum Beispiel aus SiO₂, gegeneinander isoliert.

In der Peripherie sind in dem Substrat 21 erste Transistoren T1 und zweite Transistoren T2 angeordnet, über die jeweils eine der ersten Bitleitungen BL1 bzw. eine der zweiten Bitleitungen BL2 ansteuerbar ist. Der erste Transistor T1 weist Source-/Drain-Gebiete S/D1, ein Gateoxid GOX1, eine Gateelektrode G1 und eine Gateisolation GI1 auf. Der zweite Transistor T2 weist Source-/Drain-Gebiete S/D2, ein Gateoxid GOX2, eine Gateelektrode G2 und eine Gateisolation GI2 auf.

Die ersten Bitleitungen BL1 stehen jeweils mit einem der Source-/Drain-Gebiete S/D1 des jeweiligen ersten Transistors T1 in Verbindung. Dieses erfolgt zum Beispiel dadurch, daß die erste Bitleitung BL1 bis auf die Oberfläche des betreffenden Source-/Drain-Gebietes S/D1 reicht. Die zweite Bitleitung BL2 ist mit dem zugehörigen zweiten Transistor T2 über einen Kontakt 28 verbunden. Der Kontakt 28 wird zum Beispiel durch Öffnen eines tiefreichendes Kontaktloches, das die planarisierenden, isolierenden Schichten 23, 24, 25, 26 durchquert und das mit einer metallischen Füllung aufgefüllt wird, realisiert. Das Kontaktloch kann alternativ in einem mehrstufigen Prozeß insbesondere gleichzeitig mit der Strukturierung der ersten Bitleitungen BL1, der ersten Lage Speicherelemente S1, der Wortleitungen WL, zweiten Lage Speicherelemente S2 und der zweiten Bitleitungen BL2 geöffnet und gefüllt werden. Der Kontakt 28 reicht auf die Oberfläche eines der Source-/Drain-Gebiete S/D2 des zweiten Transistors T2.

35

30

10

15

20

Der Flächenbedarf pro Speicherzelle beträgt in diesem Beispiel 4 $(0.25 \ \mu m)^2/2$.

12

Die Speicherzellenanordnung weist untereinander im wesentlichen parallel verlaufende Bitleitungen BLi, i = 1, 2, ... n auf. Quer dazu verlaufen Wortleitungen WLj, j = 1, 2, ... m. Die Wortleitungen WLj verlaufen ebenfalls untereinander im wesentlichen parallel. An den Kreuzungspunkten der Bitleitungen BLi mit den Wortleitungen WLj ist in jeder Lage jeweils ein Speicherelement Si,j angeordnet (siehe Figur 3).

Die Bitleitungen BLi sind jeweils mit dem invertierenden Eingang eines Operationsverstärkers OPi, i = 1, 2 ... n verbunden. Der nicht invertierende Eingang des Operationsverstärkers OPi ist mit Erdpotential verbunden. Die Operationsverstärker OPi sind rückgekoppelt und weisen jeweils einen Rückkopplungswiderstand RKi auf. Die Operationsverstärker OPi weisen jeweils einen Ausgang Ai auf.

In dieser Speicherzellenanordnung wird den logischen Größen Null und Bins jeweils einer der Widerstandswerte der Speicherelemente Si,j zugeordnet.

Zum Auslesen der in der Speicherzellenanordnung gespeicherten Information wird zum Auslesen der in dem Speicherelement Si,j gespeicherten Information die Wortleitung WLj angesteuert.

Dazu wird die Wortleitung WLj auf ein Potential von zum Beispiel + 1 Volt gelegt. Alle andere Wortleitungen WLl, l ≠ j
werden auf 0 Volt gelegt. Alle Bitleitungen BLi, i = 1 ... n
liegen ebenfalls auf 0 Volt, da sie mit dem invertierenden
Eingang des rückgekoppelten Operationsverstärkers OPi verbunden sind, der sich stets auf 0 Volt regelt. Am Ausgang Ai des
Operationsverstärkers OPi wird eine Spannung

$$U_{out} = 1 V * \frac{R}{(Rx + RI)}$$

20

abgegriffen, wobei R der Widerstand des Rückkoppelwiderstandes RKi, Rx der Widerstand des Speicherelementes Si,j und Rl der Widerstand der Leitungsanteile der Wortleitung WLj und

13

der Bitleitung Bli, über die der Strom fließt, ist. Aus dieser Spannung läßt sich der Widerstand Rx des Speicherelementes Si,j berechnen, da die übrigen Größen bekannt sind.

Die Bitleitungen BLi und die Wortleitungen WLj werden aus Metall gebildet, so daß ihr Widerstand sehr klein ist. Der Rückkoppelwiderstand RKi beträgt zum Beispiel 100 k Ω . Der Widerstand Rx des Speicherelementes Si, j beträgt etwa 100 $k\Omega$, falls die Magnetisierung von der ersten ferromagnetischen Schicht 1 und der zweiten ferromagnetischen Schicht 3 10 parallel ausgerichtet ist und 110 $k\Omega$, falls die Magnetisierung von der ersten ferromagnetischen Schicht 1 und der zweiten ferromagnetischen Schicht 3 antiparallel ausgerichtet ist. Es sind je Lage 100 Bitleitungen BLi und 10000 Wortleitungen WLj vorgesehen. Damit beträgt die Änderung des Ein-15 gangssignals abhängig von dem angenommenen Widerstandswert des Speicherelementes Si, j 100 mV. Mit einem Widerstandsverhältnis $\frac{R}{Rx + RD}$ von 10 kann sie am Ausgang Ai des Operationsverstärkers OPi auf 1 Volt verstärkt werden.

20

25

30

35

Da alle Bitleitungen BLi auf 0 Volt liegen, fließen zwischen den Bitleitungen BLi keine parasitären Ströme. Der Strompfad ist nur zwischen der ausgewählten Wortleitung WLj und allen Bitleitungen geschlossen. Es ist daher vorteilhaft, eine größere Anzahl an Wortleitungen WLj als Bitleitungen BLi zu verwenden. Eine Speicherzellenanordnung mit 1 Mbit pro Lage Speicherelemente wird vorzugsweise mit n = 100 Bitleitungen BLi und M = 10.000 Wortleitungen WLj aufgebaut. Damit sind nur 100 Leseverstärker je Lage erforderlich. Der Strom, der jeweils in die ausgewählten Wortleitungen BLj fließt, ergibt sich aus der Parallelschaltung von 100 Speicherelementen Si,j, die jeweils einen Widerstand von etwa 100 k Ω aufweisen. Diese Parallelschaltung weist einen Widerstand von etwa 1 k Ω auf. Die Länge der Bitleitungen BLi spielt dabei keine Rolle, da diese nicht umgeladen wird.

14

Zum Einschreiben von Informationen in die Speicherzelle Si,j wird der Bitleitung BLi und der Wortleitung WLj jeweils ein Strom I_{WL} , I_{BL} in der Größenordnung mA eingeprägt. Dieser Strom induziert um die Schreibleitung BLi und die Wortleitung WLj jeweils ein Magnetfeld H_{WL} , H_{BL} , das am Kreuzungspunkt der Bitleitung BLi und der Wortleitung WLj die Magnetisierung der ersten ferromagnetischen Schicht 1 beeinflußt (siehe Figur 1). Die Magnetisierung der zweiten ferromagnetischen Schicht 3 ist durch die antiferromagnetische Schicht 4, die dieser benachbart ist, festgelegt.

10

15

Patentansprüche

- 1. Speicherzellenanordnung,
- bei der mehrere untereinander im wesentlichen parallel verlaufende Wortleitungen und mehrere untereinander im wesentlichen parallel verlaufende Bitleitungen vorgesehen sind, wobei die Wortleitungen quer zu den Bitleitungen verlaufen,
- bei der Speicherelemente mit einer Schichtstruktur mit magnetoresistivem Effekt vorgesehen sind, die jeweils zwischen einer der Wortleitungen und einer der Bitleitungen angeordnet sind,
- bei der die Speicherelemente in mindestens zwei Lagen angeordnet sind, die übereinander angeordnet sind.
 - 2. Speicherzellenanordnung nach Anspruch 1,
- 20 bei der die Speicherelemente jeweils zwei ferromagnetische Schichten und eine dazwischen angeordnete nicht magnetische Schicht aufweisen,
- bei der die Speicherelemente jeweils zwei Magnetisierungszustände aufweisen.
 - 3. Speicherzellenanordnung nach Anspruch 2,
- bei der die ferromagnetischen Schichten jeweils mindestens 30 eines der Elemente Fe, Ni, Co, Cr, Mn, Gd, Dy enthalten,
 - bei der die Dicke der ferromagnetischen Schichten jeweils kleiner oder gleich 20 nm ist,
- obei der die nicht magnetische Schicht mindestens eines der Materialien Al_2O_3 , NiO, HfO_2 , TiO_2 , NbO, SiO_2 enthält und eine Dicke im Bereich zwischen 1 und 4 nm aufweist.

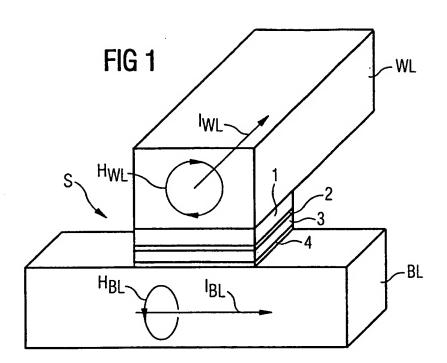
16

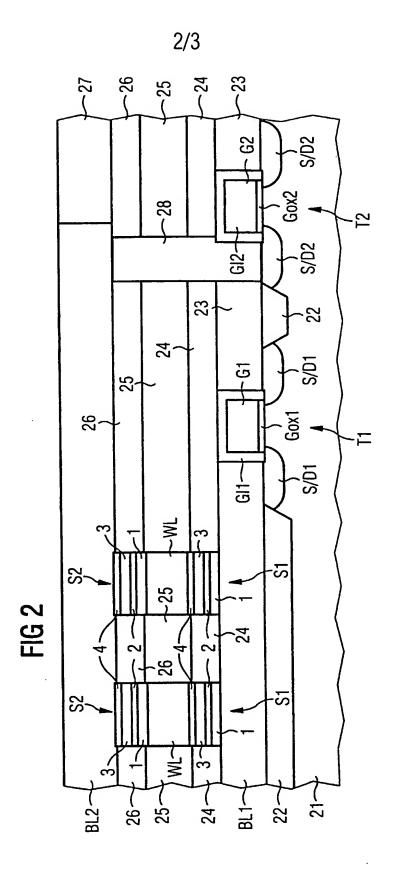
4. Speicherzellenanordnung nach 2 oder 3,

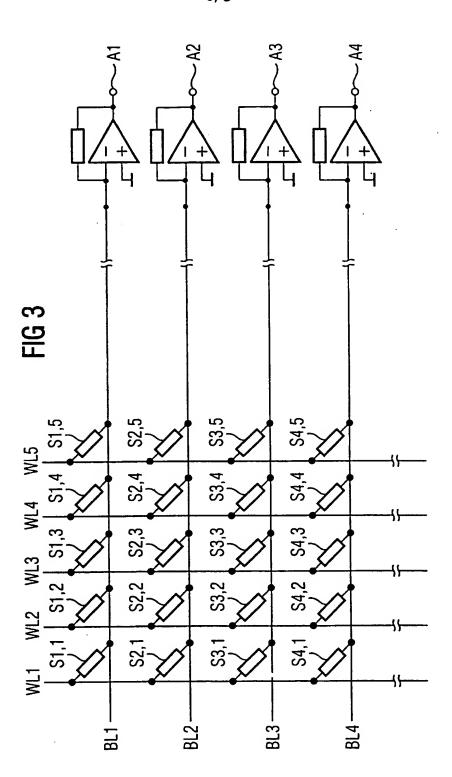
10

- bei der eine antiferromagnetische Schicht vorgesehen ist, die einer der ferromagnetischen Schichten benachbart ist und die die Magnetisierungsrichtung in der benachbarten ferromagnetischen Schicht bestimmt.
 - 5. Speicherzellenanordnung nach Anspruch 4, bei der antiferromagnetische Schicht mindestens eines der Elemente Fe, Mn, Ni, Ir, Tb und O enthält.
- 6. Speicherzellenanordnung nach einem der Ansprüche 1 bis 5,
 bei der die Speicherelemente in einer Ebene, die von den
 Wortleitungen und den Bitleitungen aufgespannt wird, Abmes-
- 15 Wortleitungen und den Bitleitungen aufgespannt wird, Abmessungen im Bereich zwischen 0,5 μ m und 20 μ m aufweisen.
 - 7. Speicherzellenanordnung nach einem der Ansprüche 1 bis 6,
- 20 bei der die Speicherelemente hochohmiger als die Bitleitungen und die Wortleitungen sind und jeweils zwischen eine der Wortleitungen und eine der Bitleitungen geschaltet sind,
- 25 bei dem die Bitleitungen jeweils mit einem Leseverstärker verbunden sind, über den das Potential an der jeweiligen Bitleitung auf ein Referenzpotential regelbar ist und an dem ein Ausgangssignal abgreifbar ist.
- 30 8. Speicherzellenanordnung nach Anspruch 7, bei der der Leseverstärker einen rückgekoppelten Operationsverstärker aufweist.
- Speicherzellenanordnung nach Anspruch 7 oder 8,
 bei der je Lage der Speicherelemente die Zahl der Wortleitungen größer als die Zahl der Bitleitungen ist.

1/3







INTERNATIONAL SEARCH REPORT

'ernational Application No PCT/DE 98/02876

A. CLASSI	FICATION OF SUBJECT MATTER		
IPC 6	FICATION OF SUBJECT MATTER G11C11/15		
According to	o International Patent Classification (IPC) or to both national classifica	tion and IPC	
B. FIELDS	SEARCHED		
	cumentation searched (classification system followed by classification	on symbols)	
IPC 6	G11C		
Danier antel	tion searched other than minimum documentation to the extent that so	ush documents are included in the fields as	
Documenta	non searched other than minimum documentation to the extert that st	uch documents are included. In the fields se	arched
Flectronic d	ata base consulted during the international search (name of data bas	se and, where practical, search terms used)	
		,	
	···		
C. DOCUM	ENTS CONSIDERED TO BE RELEVANT		
Category *	Citation of document, with indication, where appropriate, of the rele	evant passages	Relevant to claim No.
	DE 107 OC 050 4 (NOTODOLA THO)		
P,X	DE 197 26 852 A (MOTOROLA INC)		1,2
	26 February 1998		
	see the whole document		
Α	EP 0 780 912 A (MATSUSHITA ELECTR	IC IND CO	1-6
	LTD) 25 June 1997		
	see column 4, line 38 - column 6,	line 45;	
	figures 3,5		
			
			l
		<u> </u>	
Furt	her documents are listed in the continuation of box C.	X Patent family members are listed in	n annex.
° Special ca	stegories of cited documents:	PT* Inter-degree of multiplicate of the the 104	antiqual filing data
PAN		"T" tater document published after the inter or priority date and not in conflict with the	he application but
	ent defining the general state of the art which is not dered to be of particular relevance	cited to understand the principle or the invention	ory underlying the
	document but published on or after the International	"X" document of particular relevance; the cl	
filing o	late ant which may throw doubts on priority claim(s) or	cannot be considered novel or cannot involve an inventive step when the doc	be considered to
which	is cited to establish the publication date of another	"Y" document of particular relevance; the cl	
	n or other special reason (as specified)	cannot be considered to involve an inv	entive step when the
	ent referring to an oral disclosure, use, exhibition or means	document is combined with one or mo- ments, such combination being obvious	
"P" docum	ent published prior to the international filing date but	in the art.	
later ti	han the priority date claimed	"&" document member of the same patent f	amiry
Date of the	actual completion of the international search	Date of mailing of the international sea	rch report
9	February 1999	16/02/1999	•
Name and	mailing address of the ISA	Authorized officer	
	European Patent Office, P.B. 5818 Patentlaan 2 NL - 2280 HV Rijswijk		
	Tel. (+31-70) 340-2040, Tx. 31 651 epo nl, Fax: (+31-70) 340-3016	Beasley-Suffolk, [)
1	(.0) (0) 0 0 10	1	

1

INTERNATIONAL SEARCH REPORT

information on patent family members

'ernational Application No PCT/DE 98/02876

Patent document cited in search report		Publication Patent family date Patent family			Publication date
DE 19726852	Α	26-02-1998	JP	10116490 A	06-05-1998
EP 0780912	Α	25-06-1997	JP US	9172212 A 5715121 A	30-06-1997 03-02-1998

Form PCT/ISA/210 (patent family ennex) (July 1992)

INTERNATIONALER RECHERCHENBERICHT

PCT/DE 98/02876

A. KLASSII IPK 6	FIZIERUNG DES ANMELDUNGSGEGENSTANDES G11C11/15		
Nach der Int	ernationalen Patentklassifikation (IPK) oder nach der nationalen Klas	sifikation und der IPK	
B. RECHER	RCHIERTE GEBIETE		
Recherchier IPK 6	ter Mindestprüfstoff (Klassifikationssystem und Klassifikationssymbo G11C	l o)	
Recherchier	te aber nicht zum Mindestprüfstoff gehörende Veröffentlichungen, so	welt diese unter die recherchierten Gebiete	fallen
Während de	r internationalen Recherche konsultlerte elektronische Datenbank (N	ame der Datenbank und evtl. verwendete :	Suchbegriffe)
C. ALS WE	SENTLICH ANGESEHENE UNTERLAGEN		
Kategorie*	Bezeichnung der Veröffentlichung, soweit erforderlich unter Angabe	e der in Betracht kommenden Telle	Betr. Anspruch Nr.
P,X	DE 197 26 852 A (MOTOROLA INC) 26. Februar 1998 siehe das ganze Dokument		1,2
A	EP 0 780 912 A (MATSUSHITA ELECTR LTD) 25. Juni 1997 siehe Spalte 4, Zeile 38 - Spalte 45; Abbildungen 3,5 		1-6
	ere Veröffentlichungen sind der Fortsetzung von Feld C zu ehmen	X Siehe Anhang Patentfamille	
"Besonders "A" Veröffer aber n "E" älteres Anmel "L" Veröffer schein anders soli ool ausge "O" Veröffe eine B "P" Veröffe	a Kategorien von angegebenen Veröffentlichungen : ntlichung, die den aligemeinen Stand der Technik definiert, icht als besonders bedeutsam anzusehen ist Dokument, das jedoch erst am oder nach dem internationalen idedatum veröffentlicht worden ist ntlichung, die geeignet ist, einen Prioritätsanspruch zweifelhaft er- en zu lassen, oder durch die das Veröffentlichungsdatum einer an im Recherchenbericht genannten Veröffentlichung belegt werden ler die aus einem anderen besonderen Grund angegeben ist (wie führt), ntlichung, die sich auf eine mündliche Offenbarung, lenutzung, eine Ausstellung oder andere Maßnahmen bezieht	"T" Spätere Veröffentlichung, die nach dem oder dem Prioritätsdatum veröffentlicht Anmeidung nicht kollidiert, sondem nu Erlindung zugrundeilegenden Prinzips Theorie angegeben ist "X" Veröffentlichung von besonderer Bedet kann allein aufgrund dieser Veröffentlier aufgrund dieser Veröffentlier strinderischer Tätigkeit beruhend betre "Y" Veröffentlichung von besonderer Bedet kann nicht als auf erfinderischer Tätigk werden, wenn die Veröffentlichung mit Veröffentlichungen dieser Kategorie in diese Verbindung für einen Fachmann "&" Veröffentlichung, die Mitglied derselber	t worden ist und mit der r zum Verständnis des der oder der ihr zugrundeliegenden stung; die beanspruchte Erfindung chung nicht als neu oder auf uchtet werden ztung; die beanspruchte Erfindung teit beruhend betrachtet einer oder mehreren anderen Verbindung gebracht wird und naheliegend ist
	Abschlusses der Internationalen Recherche	Absendedatum des internationalen Re	cherchenberichts
	. Februar 1999	16/02/1999	•
Name und f	Postanschrift der Internationalen Recherchenbehörde Europäisches Patentamt, P.B. 5818 Patentlaan 2 NL - 2280 HV Rijswijk Tel. (+31-70) 340-2040, Tx. 31 651 epo nl, Fax: (+31-70) 340-3016	Beasley-Suffolk,	D

INTERNATIONALER RECHERCHENBERICHT

Angaben zu Veröffertuchungen, die zur selben Patentfamilie gehören

ernationales Aktenzelchen
PCT/DE 98/02876

	rtes Patentdokun		26-02-1998	JP	10116490 A	06-05-1998
DE	19726852 	A 	Z0-UZ-1990	UF	10110490 A	00-05-1996
EP	0780912	Α	25-06-1997	JP	9172212 A	30-06-1997
				US	5715121 A	03-02-1998